

砂防ダムの土砂流出調節機構

京都大学防災研究所

正員 芦田 和男

京都大学防災研究所

正員 江頭 進治

運輸省

正員 田中 一弘

1. まえがき 砂防ダムの合理的配置法を確立するためには、砂防ダムの持つ機能の評価が重要である。本研究ではこの機能を評価していくための第一段階として、数値解析法の開発と若干の水路実験を行ない、これらの結果からダム堆砂区間にかける河床位と粒度分布、および流出土砂量とその粒度分布に関する変動特性についての考察を行なっている。
2. 数値計算の手法 数値解析を行なうためには、基礎方程式として a) 水のエネルギー式 b) 水の連続式 c) 流砂量式 d) 土砂の連続式 e) 粒度分布の計算式が必要となる。以下これらについて若干の説明を加えておく。

- a) エネルギー勾配は粒度分布の変化による影響を受けす。これを表現するため抵抗則には対数則を用いていす。この時 $U_m U_{ke} = 6.0 + 5.75 \log_{10} R K_s$, $K_s = dm(1 + 2.7\zeta)$ — (1) で与えている。ここに U_m ; 平均流速, R ; 径深, dm ; 平均粒径, ζ ; 無次元掃流力である。
- c) 流砂量式には芦田・道上の式を用いていす。

$$\frac{q_{sc}}{sg dm} = 17.7 \zeta (1 - \frac{U_{ke}}{U_m})(1 - \frac{U_{ke}}{U_e}) \quad (2)$$

ここに $\rho_s = 1.0$; ρ : 土粒子密度, ρ ; 水密度
 U_{ke} ; U_m ; $sg dm$ 添字 i は粒径の階級である。
 U_{ke} は次式より求めていす。

$$\frac{di}{dm} \leq 0.4; \frac{U_{kei}^2}{U_{kem}^2} = 0.85, \frac{di}{dm} > 0.4; \frac{U_{kei}^2}{U_{kem}^2} = \frac{di}{dm} \left(\frac{\log_{10} 19.0}{\log_{10} 19.0 dm} \right) \quad (3)$$

ここで U_{kem} は岩垣の経験式から求めていす。

- e) 粒度分布の計算には次式を用いていす。

$$\begin{cases} \frac{dz}{dx} \geq 0 \text{ の時 } \frac{dib}{dx} = \frac{1}{a} (i_b - i_b) \frac{dz}{dx} - \frac{8B}{a(1-\lambda)} \frac{dib}{dx} \\ \frac{dz}{dx} < 0 \text{ の時 } \frac{dib}{dx} = \frac{1}{a} (i_b - i_{bo}) \frac{dz}{dx} - \frac{8B}{a(1-\lambda)} \frac{dib}{dx} \end{cases} \quad (4)$$

ここに i_b ; 交換層中に各粒径の占める割合

図11 計算の流れ

図12 河床位計算の流れ

i_{bo} ; 交換層直下の河床中に各粒径の占める割合, λ ; 間隙率

i_b ; 流砂量中に各粒径の占める割合, a ; 交換層の厚さ

計算は図11に示した手順で行なう。たゞ、河床位の計算は図12に示した手順で行なう。差分のとり方は表のとおりである。

3 実験値と計算値の比較 計算値の妥当性を検証するため長さ12m、幅27.5cmの水路を用いて実験を行なった。給砂材料は図5の $x=0$ に示したもので、給砂条件は図4に示したものである。この結果と同一の条件で行なう。たゞ数値計算解を比較したもののが図3, 4である。図によると両者の結果はかなり一致している。問題点としては、

Kazuo ASHIDA, Shinji EGASHIRA, Kazuhiko TANAKA

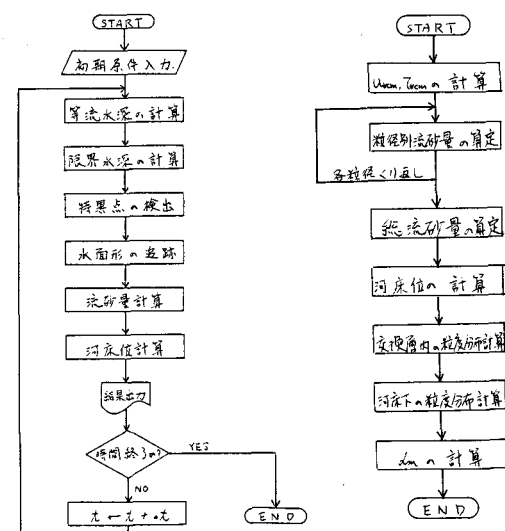
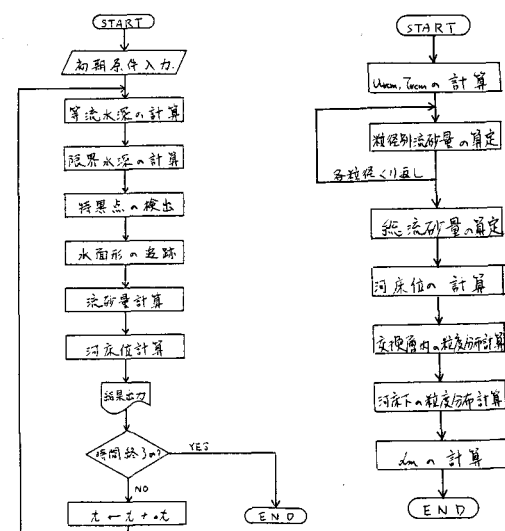


表1 差分のとり方

項目	流れ	常流	射流
時間		前進差分	前進差分
距離	水面形	後退差分	前進差分
離	河床位	前進差分	後退差分

溝削後のダム裏面の河床位をダム頂部の高さと一致させたことや、跳水の生じている領域の流砂量配分などがあげられる。実験のうち、30分、55分、87分のデータは、それぞれ砂給砂停止後10分を経過した時点のものであり、この時の河床表面には顕著

なアーマーコートが形成されている。図5・6はこの時の河床位と表層の粒度分布を示したものである。これらには、アーマーコートの上に新しいアーマーコートが形成され、河床位は上昇していく過程が示されている。これはアーマーコートの粒径が大きくなっているためであり、さらにこの実験を続ければ最大粒径粒度の平衡勾配で落ち着くであろう。このことは砂防ダムの貯留能力低下につながる重要な問題である。

4 現地規模の数値実験 河床勾配3%、ダム高5mという条件に図4に示す給水と給砂を行なう数値実験を行なった結果が図8である。洪水開始時の河床位と最高河床位の差がこのダムの貯留能力である。

この貯留能力分の体積が土砂で埋まるまでは、ダム端の河床勾配は3%よりも小さく、このために流出土砂量は縮砂量よりも小さくなりピーク低減効果が現われる。しかしながら、このような効果は与えられた条件や出水の回数によって変わり、時間的にも変化することが推測される。

参考文献

- 1) 伊田和男・益正規：移動床流れの抵抗と掃流砂量に関する基礎的研究、土木学会論文報告集第206号 pp.59~69, 1972
- 2) 宮垣雄一：限界掃流力の流体力学的研究、土木学会論文集第41号, 1956

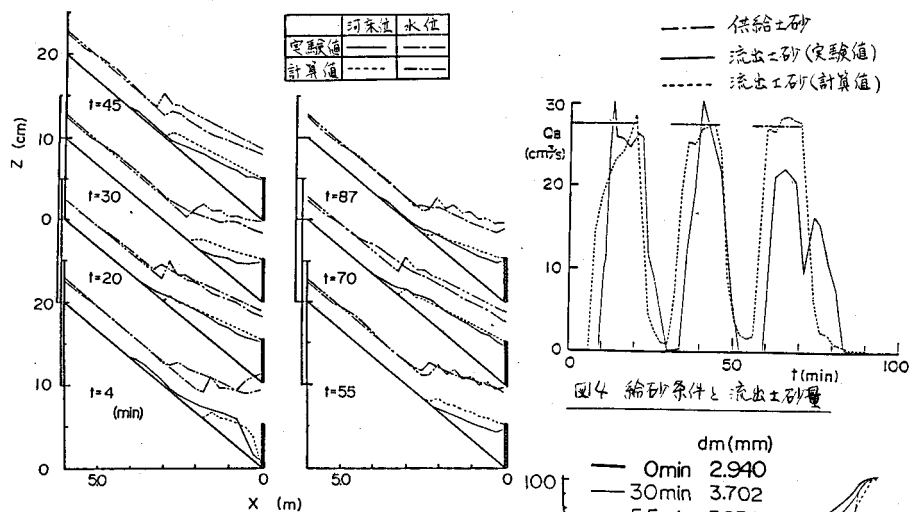


図3 河床位と水位の実験値と計算値

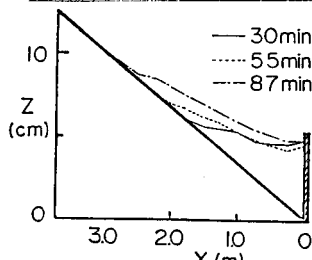


図4 侵食時の河床位の比較

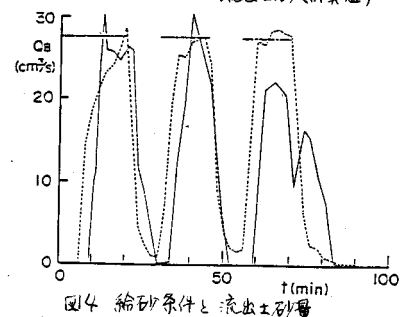


図4 給砂条件と流出土砂量

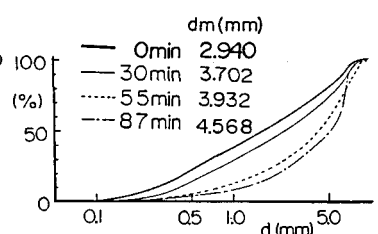


図5 侵食時の表層粒度分布の比較

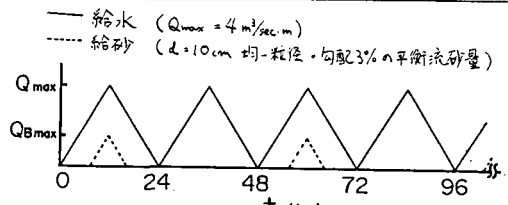


図7 数値実験の条件

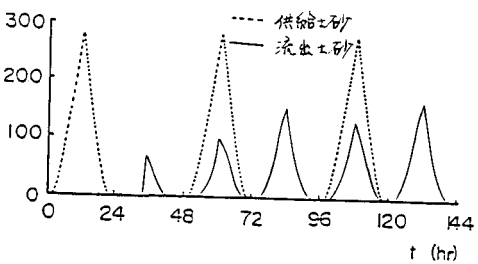
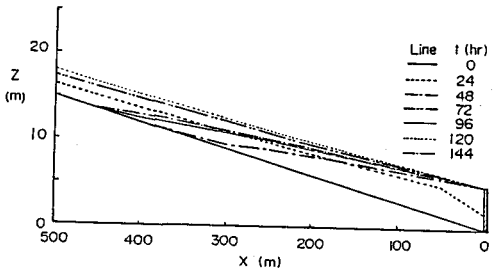


図8 数値実験の結果